

III-34 波による浮遊砂の濃度分布について

東京大学工学部 正員 ○ 濱川 清司
“ ” “ 鮎子 淑

浮遊漂砂の鉛直分布については、北海道大学福島教授、七代大学藤宗教授、アメリカ海軍食局のFAIRCHILD、ソ連のBOJITSCH らによる研究があり、分布の機構に関する種々の説明が試みられているが、未だに充分に満足すべき解明はなされていない。また、竹竿トラップによる累積捕砂量と濃度分布との関係も未解決の重要な問題として残されている。最近、海中取水施設の取水口天端高を決定するにあたり、浮遊漂砂の鉛直濃度分布が問題となれ、これに関連して、われわれは、一連の現地観測と理論的実験的研究を行った。本研究は今後とも継続予定であるが、半間的な結果を一応とりまとめて報告する。

漂砂濃度の表示式 微小振幅波理論を用い、一週期間の時間的平均を取扱うことにはれば、運動方程式は、鉛直方向のみについて考えることが出来る。すなわち

$$w_0 \frac{\partial m}{\partial z} + \frac{\partial}{\partial z} \left(\varepsilon \frac{\partial m}{\partial z} \right) = 0 \quad (1)$$

を得る。但し、 m は漂砂濃度、 w_0 は砂粒の沈降速度である。いま、混合距離を、その奥における分子軌道の水平軸長を λ と比例すると仮定し、渦動粘性係数 $\varepsilon = \beta \ell^2 / \frac{2\pi d}{\lambda}$ 、(β は正の常数) を (1) 式に代入して、一週期間の時間的平均をとれば、簡単な計算を経て次式を得る。

$$m/m_0 = \exp \left[-\alpha \frac{w_0}{C} \left(\frac{L}{H} \right)^3 \left(\frac{d}{L} \right) \sinh^3 \left(\frac{2\pi d}{L} \right) f(n) \right] \quad (2)$$

$$f(n) = \left[\frac{\cosh kdn_0}{\sinh^2 kdn_0} - \frac{\cosh kdn}{\sinh^2 kdn} + \log \left| \frac{\tanh kdn_0/2}{\tanh kdn/2} \right| \right] / 2dk \quad (3)$$

但し、 H = 波高、 L = 波長、 C = 波速、 d = 水深、 m_0 = 海底から高さ $n_0 d$ における漂砂濃度、 n = 全水深 d に対する海底からの高さの比、 $k = 2\pi/L$ 、 $\alpha = \text{常数 } \beta \text{ を含む正の常数}$ 。

実験及び現地観測 上式を誇張するにあたり、渦動粘性係数に関する大らかな仮定を行つたので、実験及び現地観測の資料から α 値の性質を検討した。実験は、 $24 \times 1 \times 0.8$ (m) の 2 次元水槽を使用し、粗細 2 種類の底質 (300, 150 μ)、大小 2 種類の波 (波高 15.7 cm; 週期 1.30, 1.98 sec)、水深は測定部分で 30.0 cm である。濃度測定は、サクションを使用し、また、竹竿トラップの種型による累積捕砂を同時に行つた。現地観測は、東海杯海岸下、特に設計した種型探水器による濃度測定、ならびに竹竿トラップによる捕砂を行い、また、新潟海岸における竹竿トラップ資料を利用して追加した。結果の一例を図-1 に示す。これはトヨタ、 α 値は常数ではなく、波作用の大きい程、水深が小さい程、水面に近い程、大きくなる傾向があり、これは、水深の影響は最も著しい。このようほどの性質については、今後とも、更に検討をすゝめて、上述の仮定を検証する必要がある。

竹竿トラップ資料の検定 竹竿トラップによつて得られる資料は、ある期間内の累積値を表すので、これを濃度に換算するためには積分が必要である。われわれは、底質擾乱強度の index として底面における水分子の最大水平速度 V_{max} とし、これを parameter にして、 $\alpha = 0.1$ に計算する現地及公衆健康室の浮遊濃度ならびに竹竿トラップ資料を比較した。図-2, 3, 4 にその結果を示す。但し、捕砂量の代りに捕砂率 (gr/hr) を用い、軌道速度は、波高、周期、水深、実測値から微小振幅波理論により計算した。また、現地波高は、竹竿トラップの設置期間中、非常に変動するので、便宜上、全期間中の波高記録から 2 時間毎 10 分間の範囲を有義値を求め、これが又平均をもつて代表的値とみなした。図-2, 3 下は、若干のばらつきがみられるが、これは、上述のような波浪値のとり方、又次流の存在、濃度測定方法の相異に基づくものと思われ、現在の段階としては、この程度のばらつきは許容されなければならない。これから計算上、竹竿資料と浮遊砂濃度は、実験、現地の両方とも、ほぼ同一の関係で得られることがわかり、これは、竹竿資料の検定について有効な手がかりをえたるものと思われる。

謝辞 本研究の実施にあたり、種々の便宜を賜った日本宗子力電気株式会社土建部、新潟県土木部、信濃川工事部監理に深甚の謝意を表すと共に、もに、終始懇切丁寧指導を賜った東京大学本間仁教授、現地観測、実験及び資料の整理にあたって實験室協力をされた東京大学土木系実験室、秋山一夫、平賀陸、寺川尚子、本間久枝、田中昭次、諸氏、ならびに当時学部学生鶴見誠一氏（現総理府技官）に、併せて深謝する次第である。

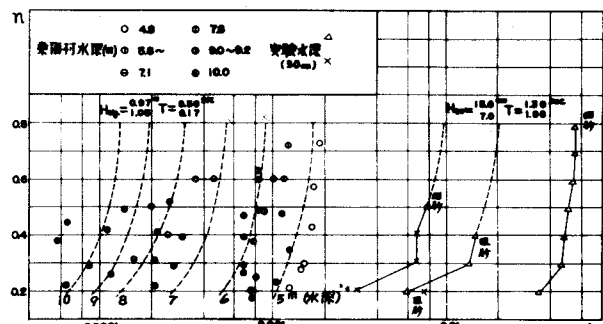


図-1. α 値の検証

図-2, 3, 4 にその結果を示す。但し、捕砂量の代りに捕砂率 (gr/hr) を用い、軌道速度は、波高、周期、水深、実測値から微小振幅波理論により計算した。また、現地波高は、竹竿トラップの設置期間中、非常に変動するので、便宜上、全期間中の波高記録から 2 時間毎 10 分間の範囲を有義値を求め、これが又平均をもつて代表的値とみなした。

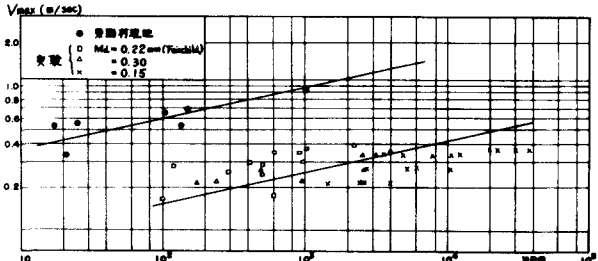


図-2. 浮遊濃度 vs. 海底における水分子の最大水平速度

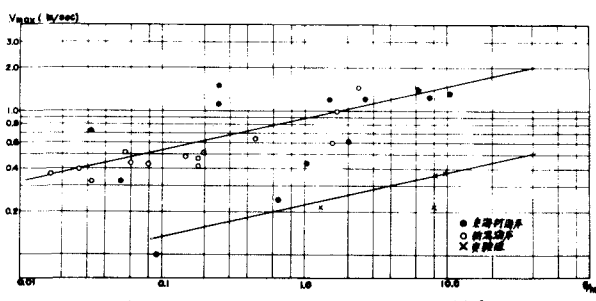


図-3. 捕砂率 vs. 海底における水分子の最大水平速度

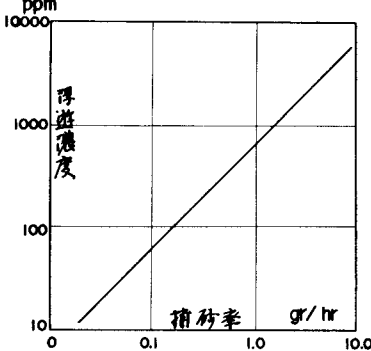


図-4. 捕砂率検定曲線